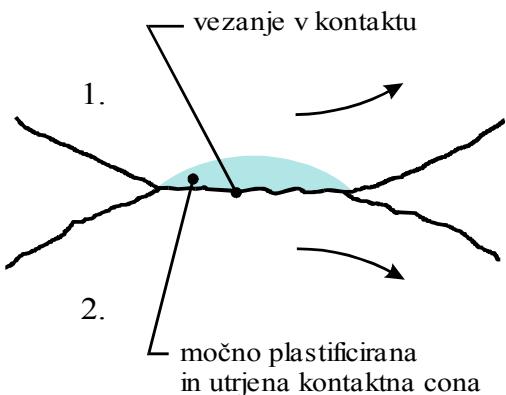


Ilustracija drsno-kotalnega kontakta

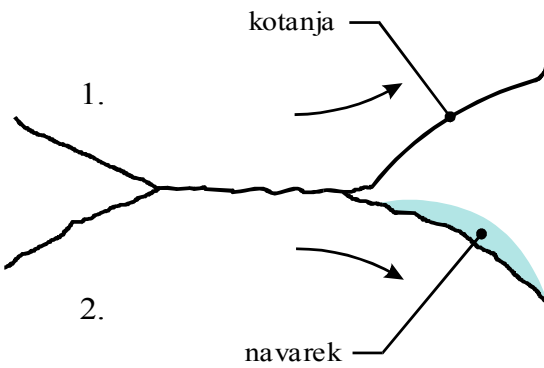
Analiza stanja površin kot
stacionarnih naključnih procesov

Gorazd Hlebanja
DV-9
gorazd.hlebanja@fs.uni-lj.si

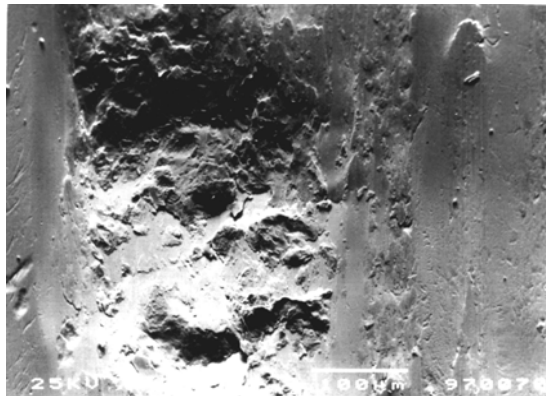
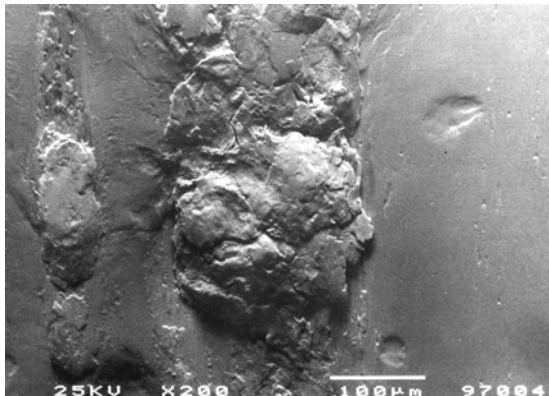
Zajedanje – eden od škodnih mehanizmov v kontaktu



a



b

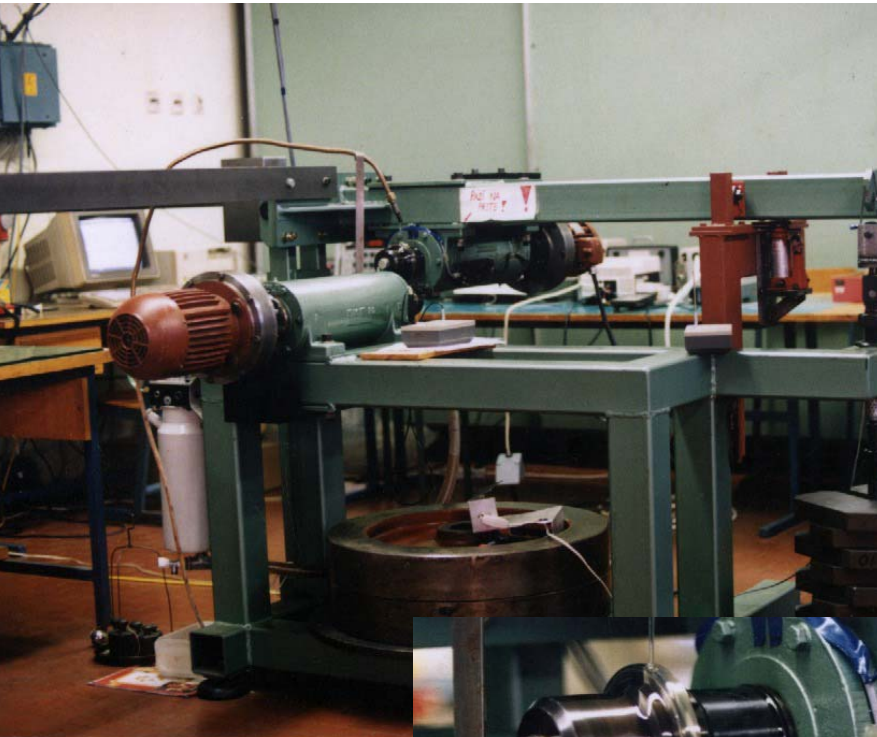


Pri ciljnih eksperimentalnih podatkih ($v_t < 3$ m/s) se zajedanje ne pojavi kljub pričakovanju.

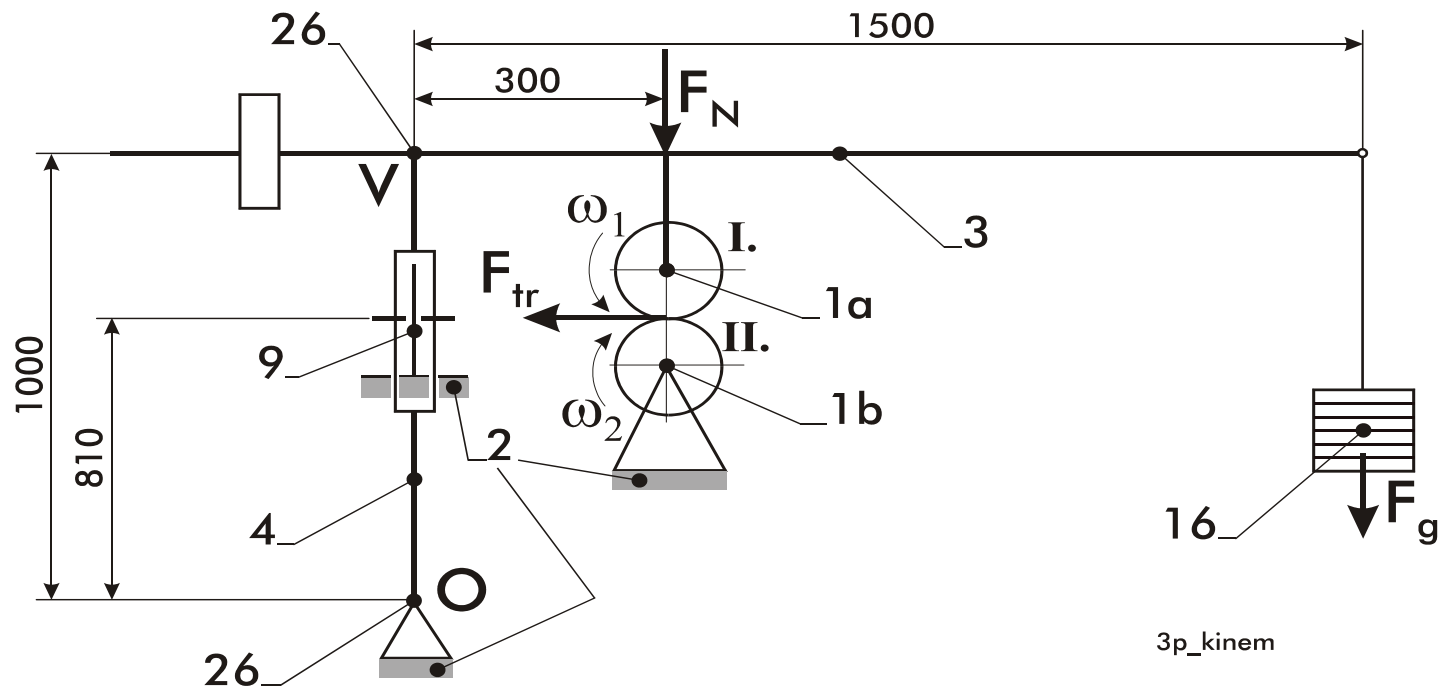
Zajedanje nastopi pri večjih tlakih, večjih drsnih hitrostih in slabšem mazanju.

V osnovi zajeda nastane kot par navarek-kotanja, material se vedno odtrga od toplotno bolj obremenjenega partnerja in navari na drugega.

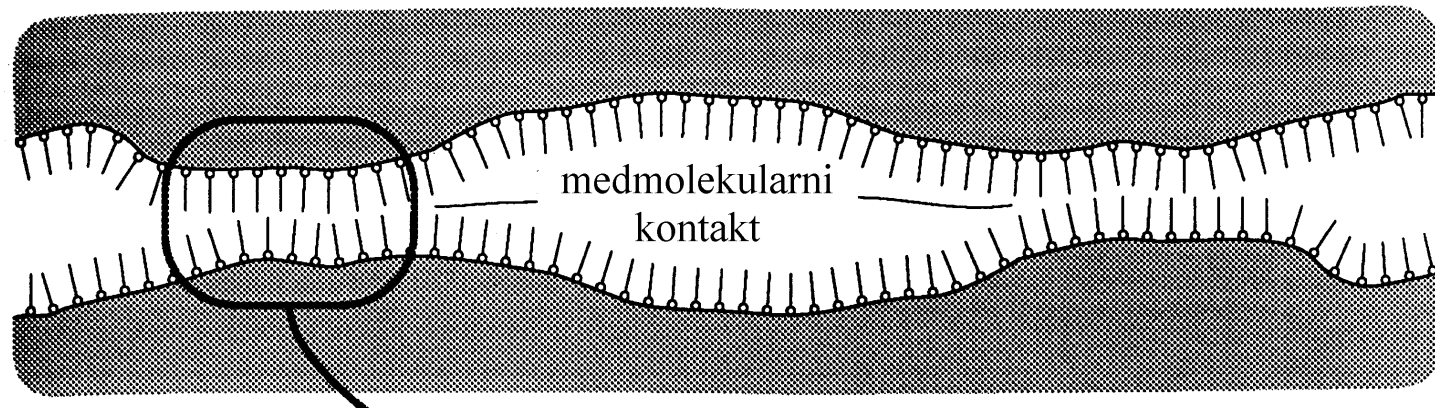
Preizkuševališče



Preizkuševališče

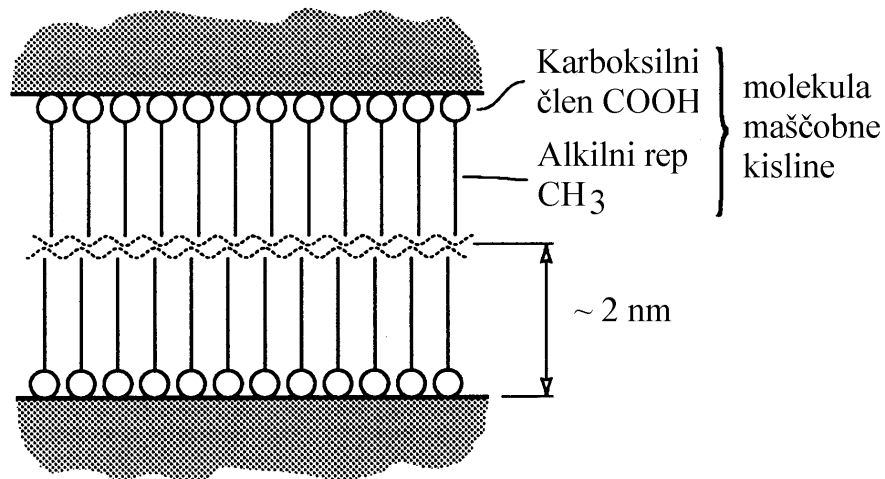


Drsno-kotalni kontaktni proces



Odbijanje med nasprotnimi
 CH_3 repi - nizka strižna
odpornost

Močno vezanje med COOH
členi molekule in podlago

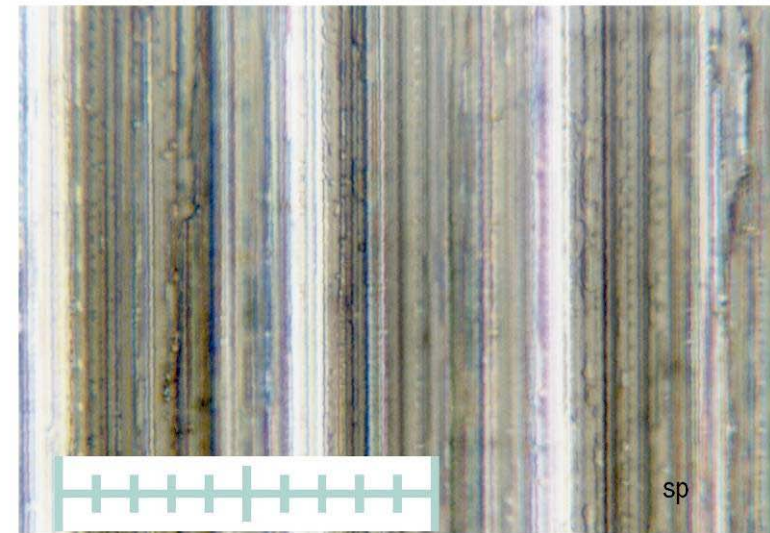
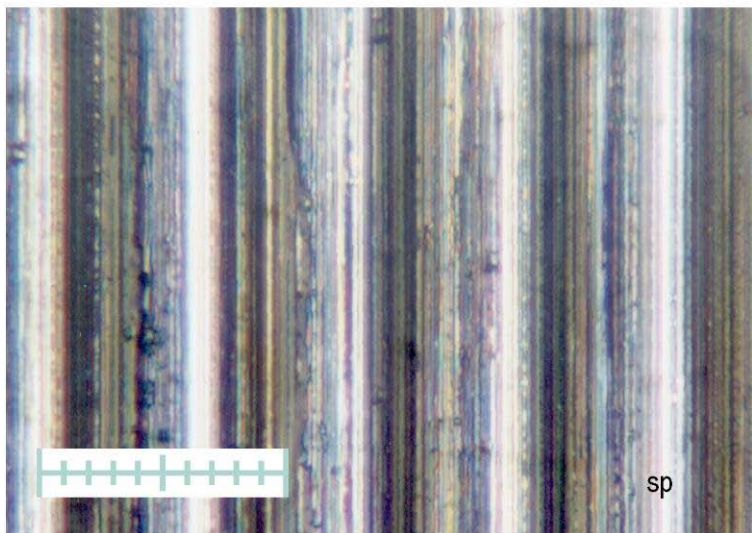
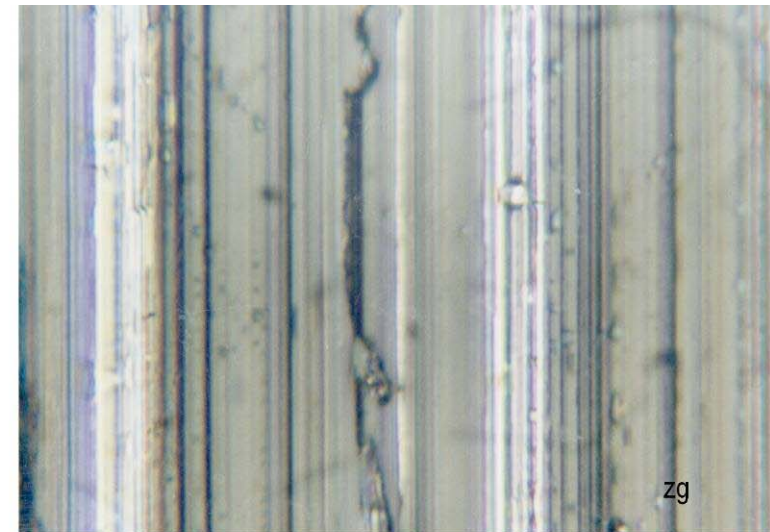
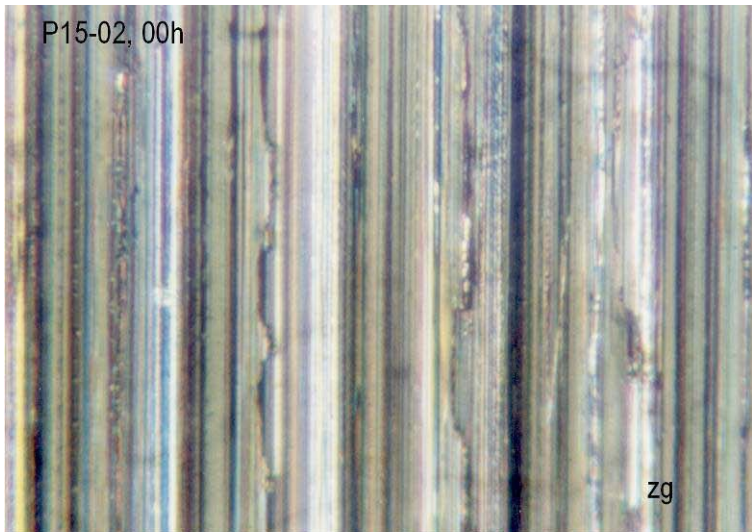


Drsno-kotalni kontaktni proces

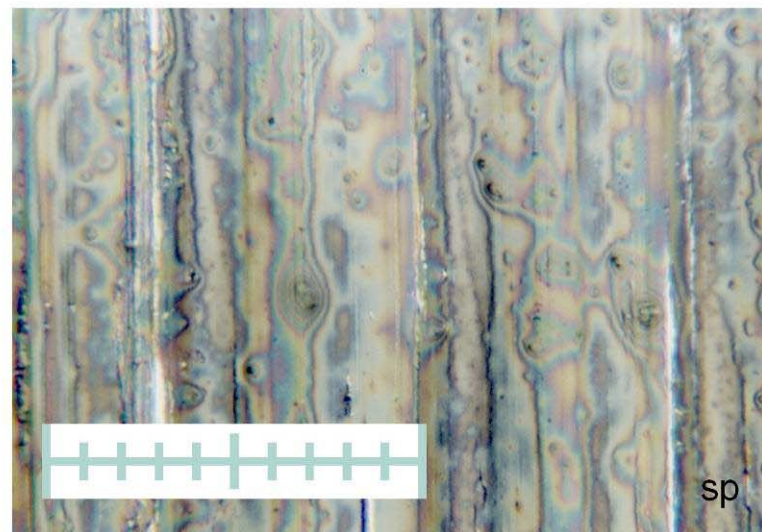
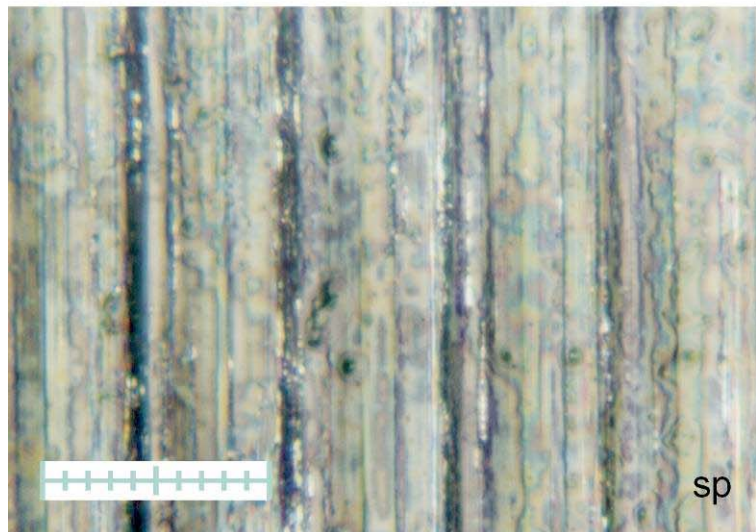
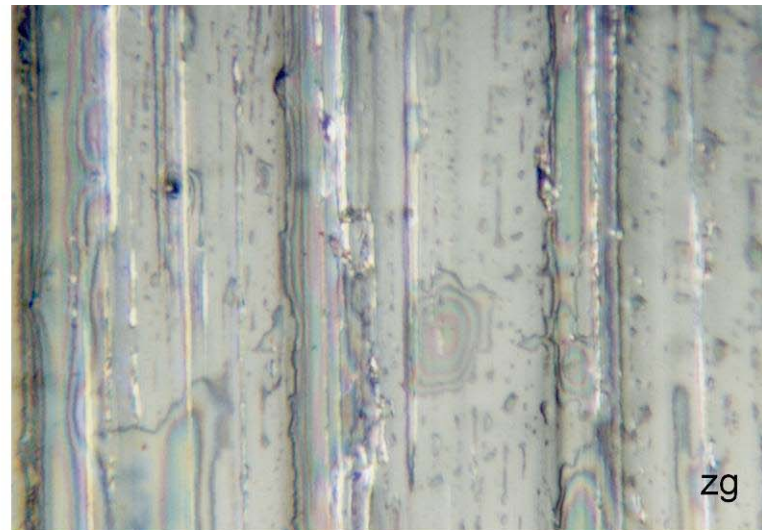
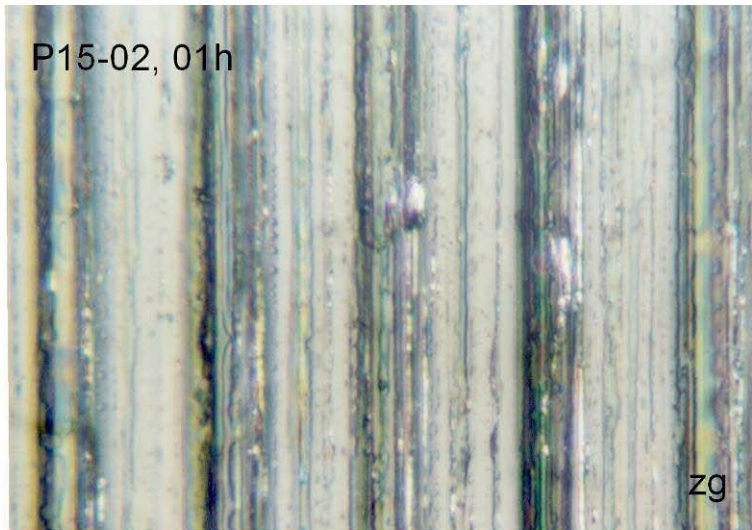
zajema tri pomembne faze:

- Začetno abrazivno interakcijo med površinami v kontaktu, ki se umiri že zelo kratkem času
- Dolgotrajno stabilno fazo, v kateri volumetrične obrabe ni, lahko pa zaradi kontaktnih obremenitev pride do plastičnega izravnavanja vršičkov
- Možna (ne pa tudi nujna) je faza poškodb zaradi utrujanja materiala. V našem primeru je tipično 50.000 do 100.000 obremenitvenih ciklov v 100 urah.

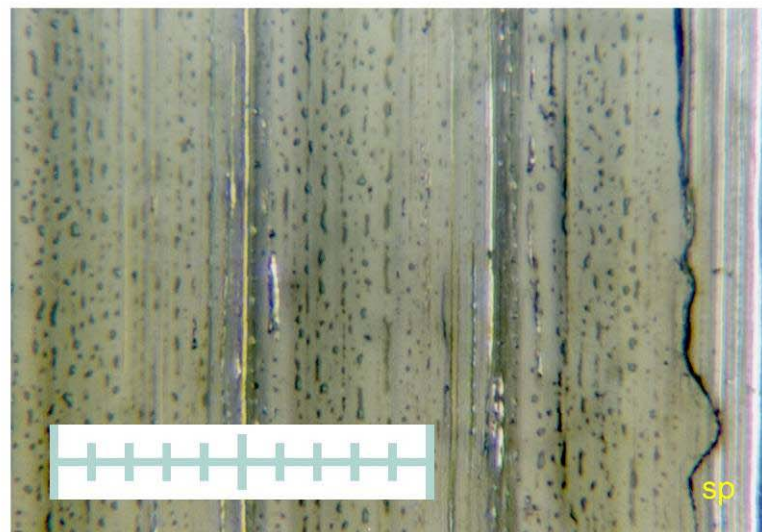
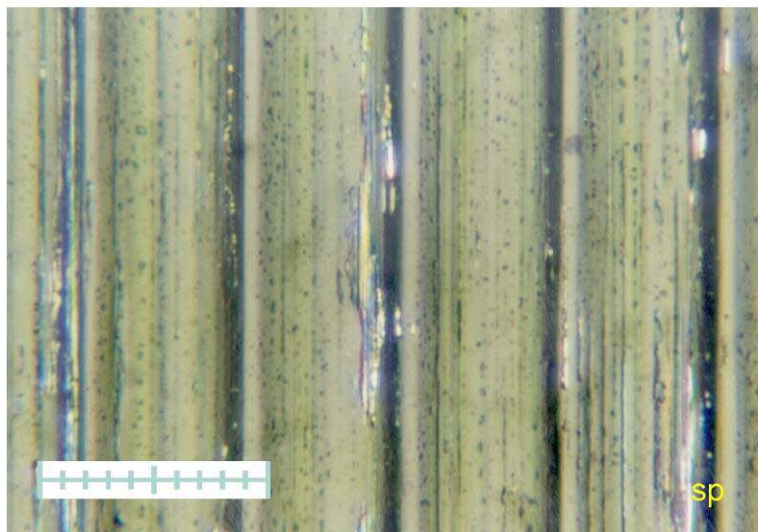
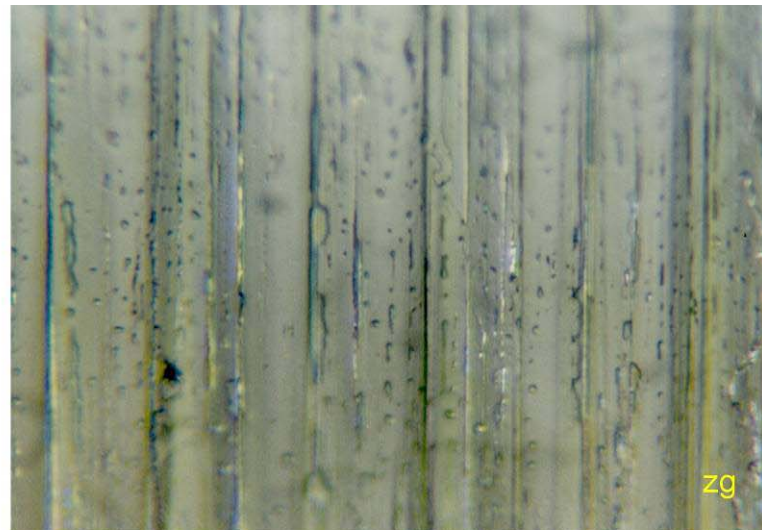
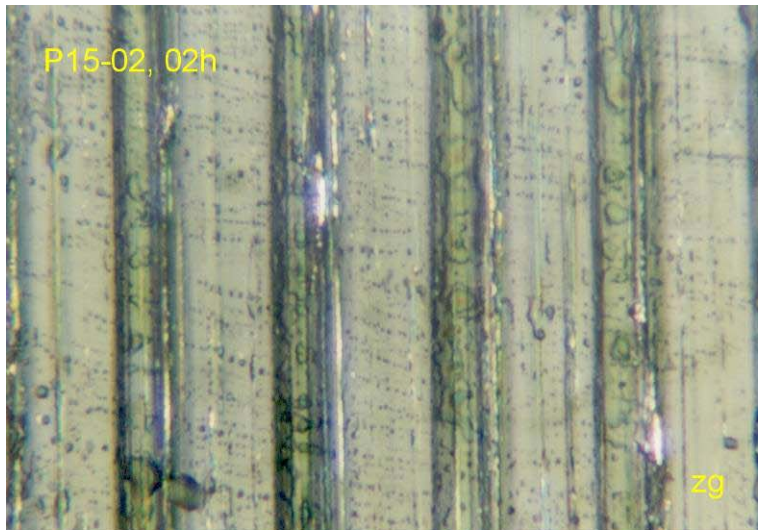
Slike z optičnega mikroskopa (0 h)



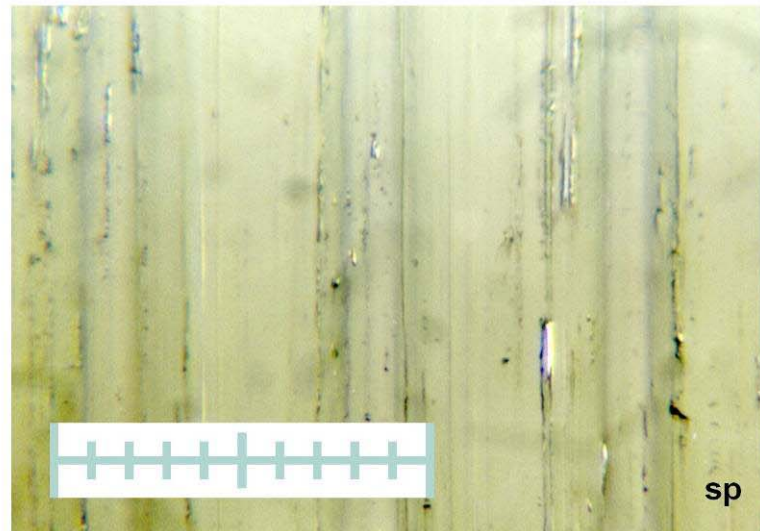
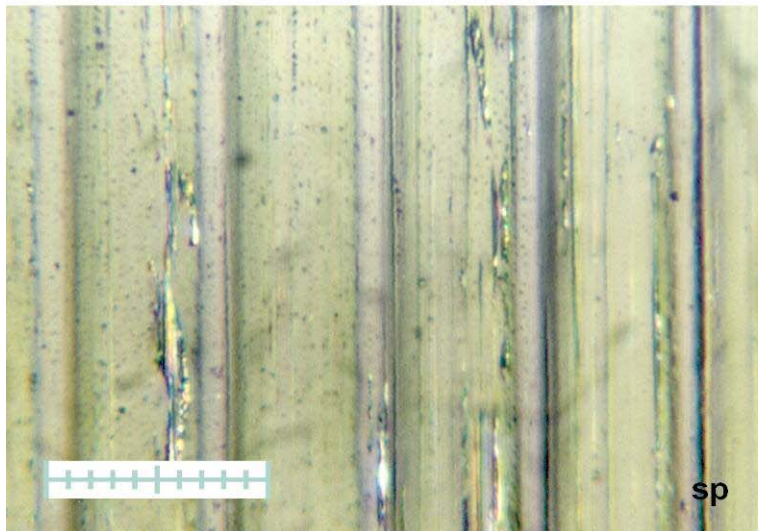
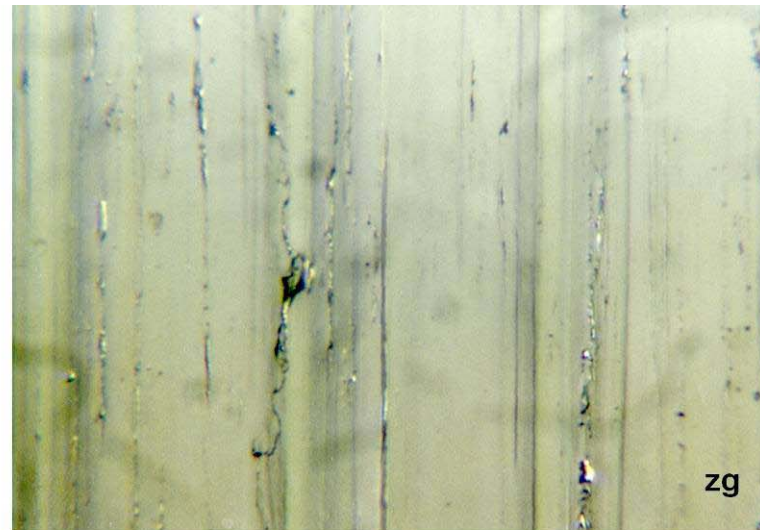
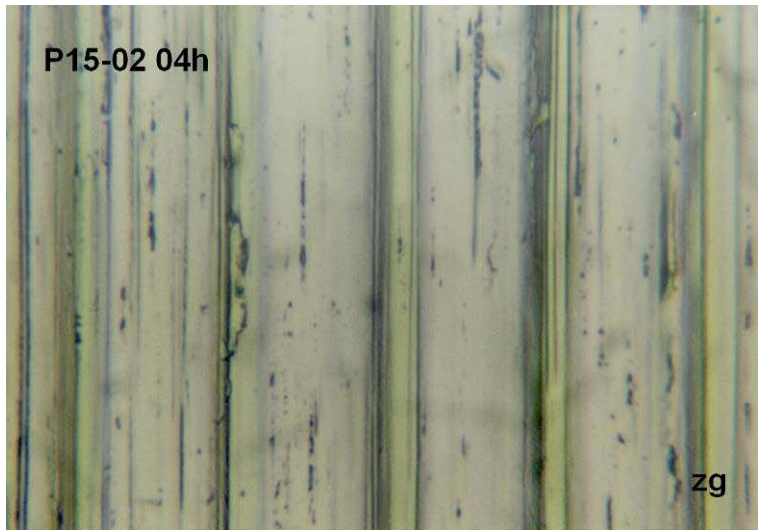
Slike z optičnega mikroskopa (1 h)



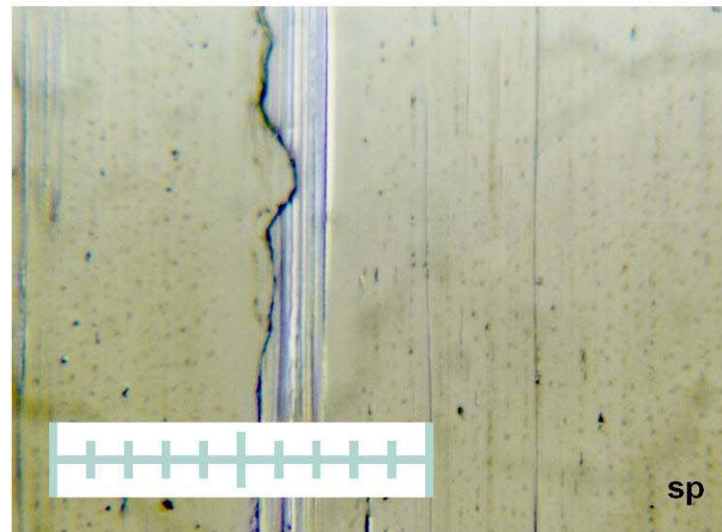
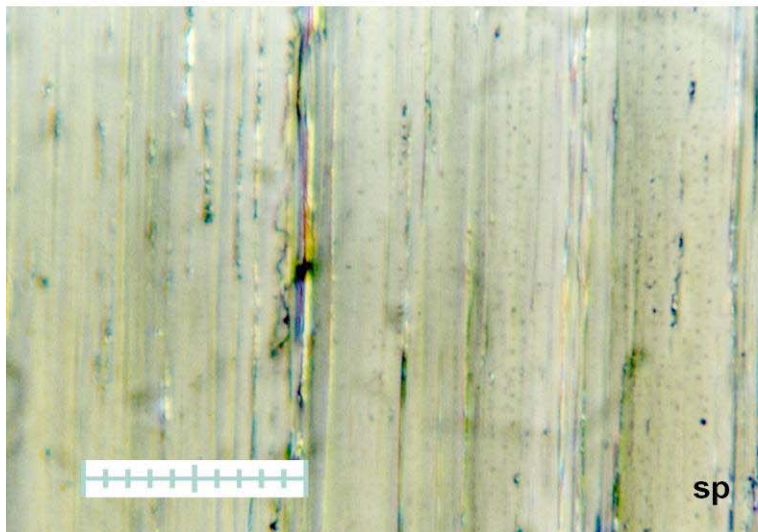
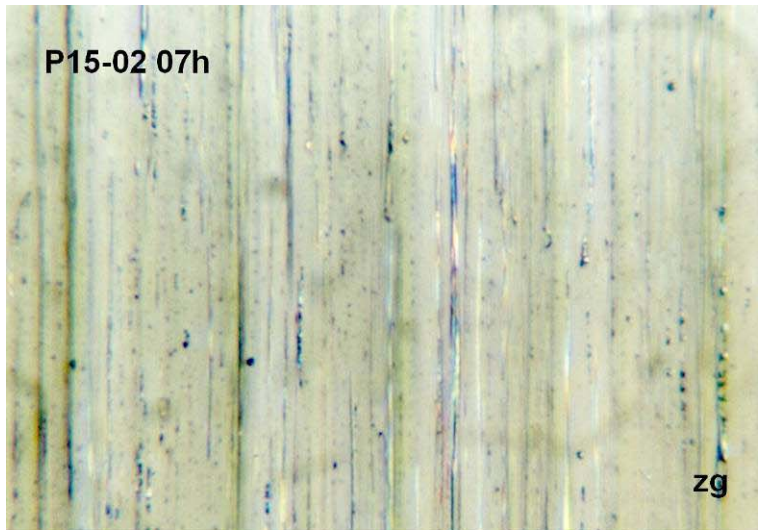
Slike z optičnega mikroskopa (2 h)



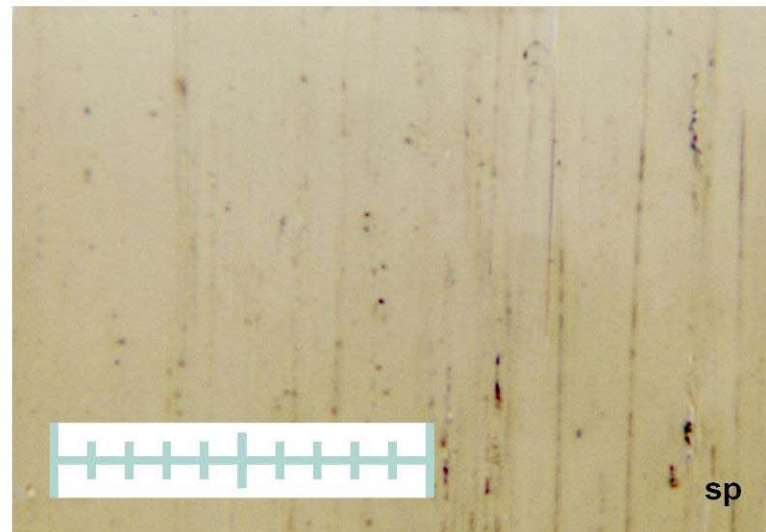
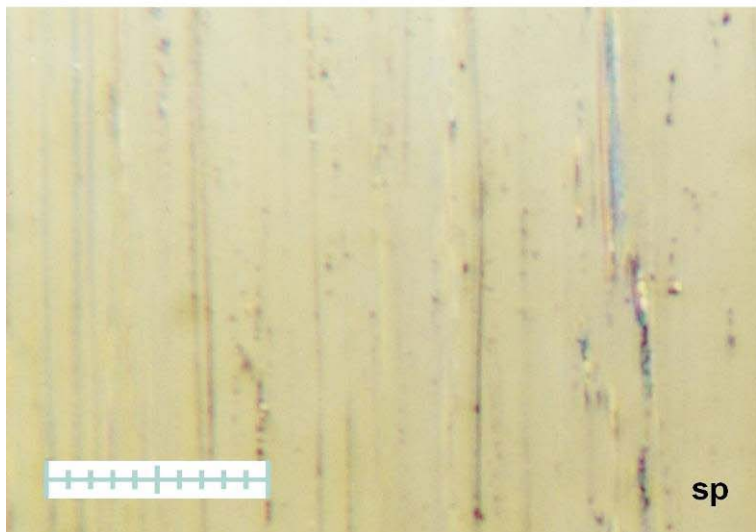
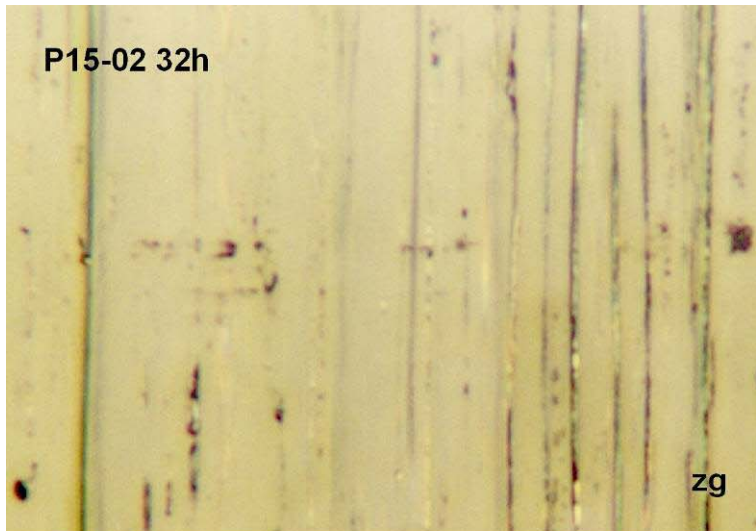
Slike z optičnega mikroskopa (4 h)



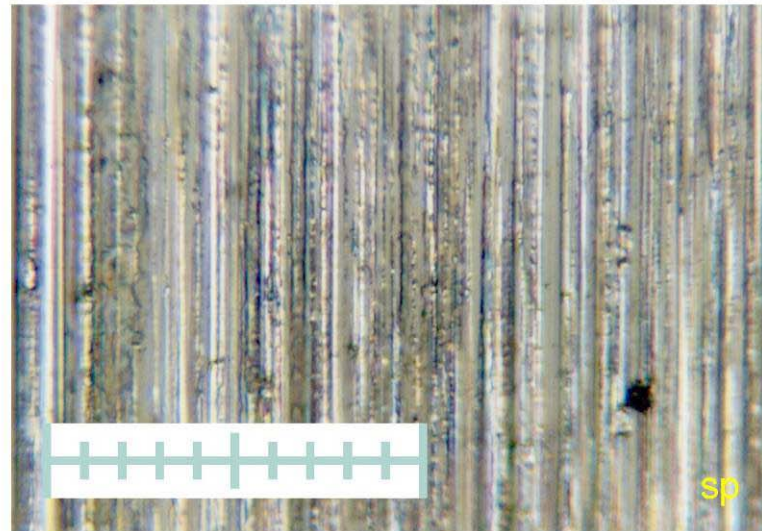
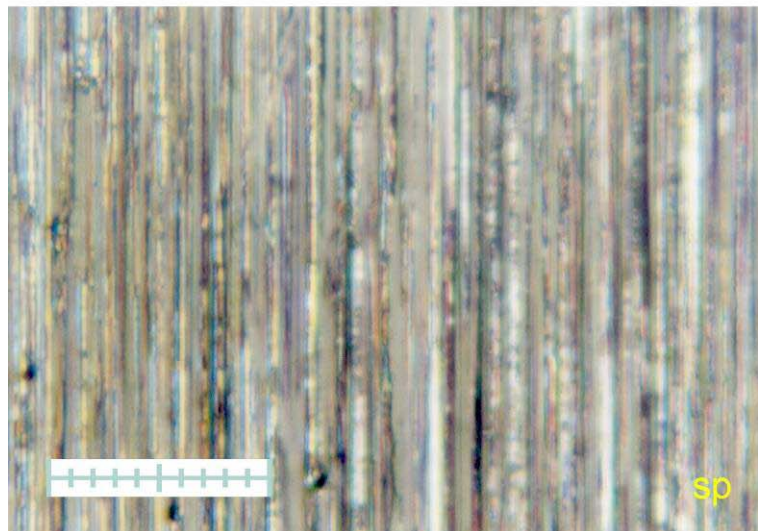
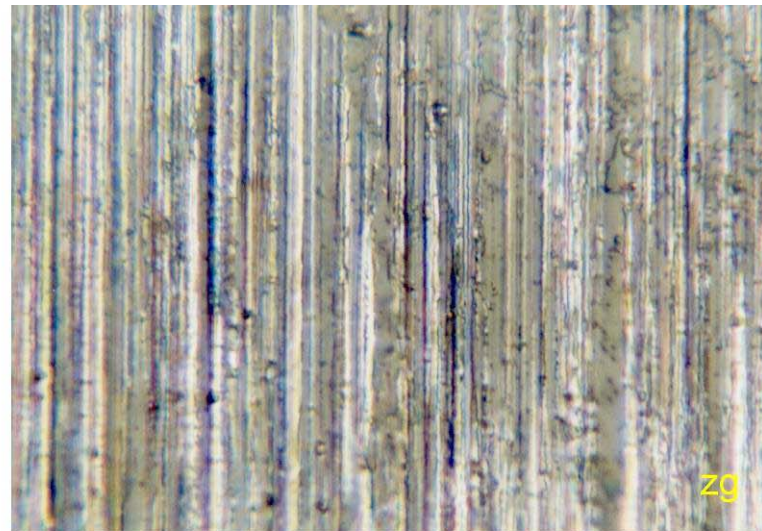
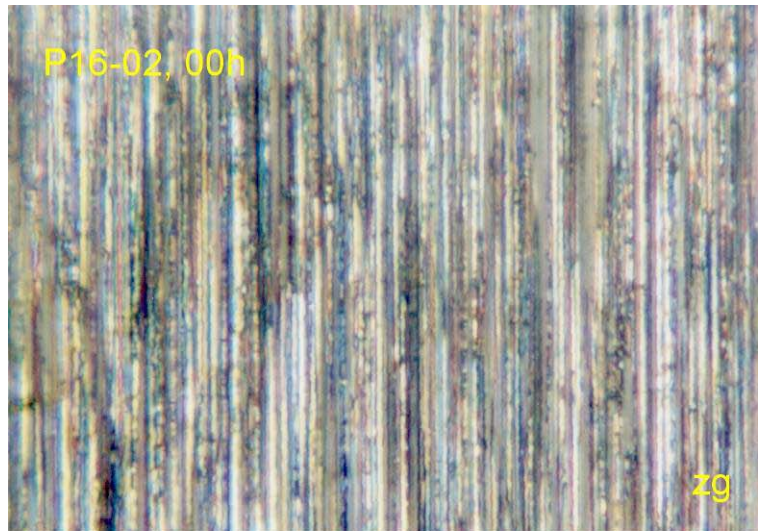
Slike z optičnega mikroskopa (7 h)



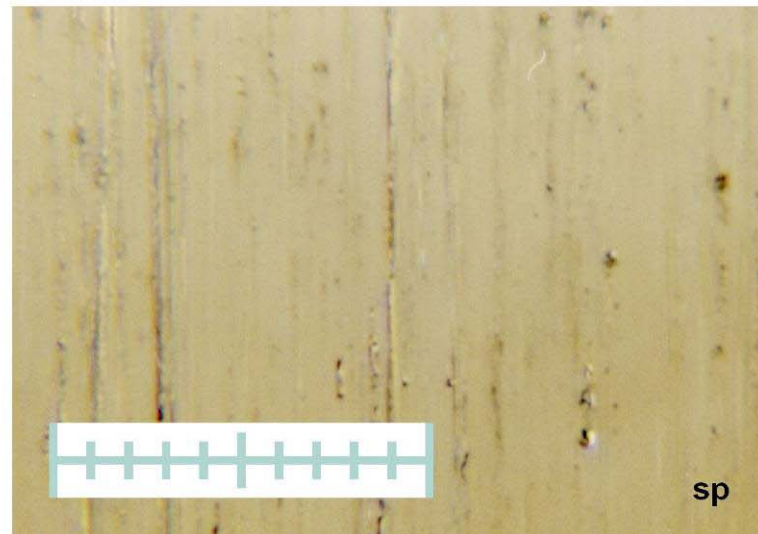
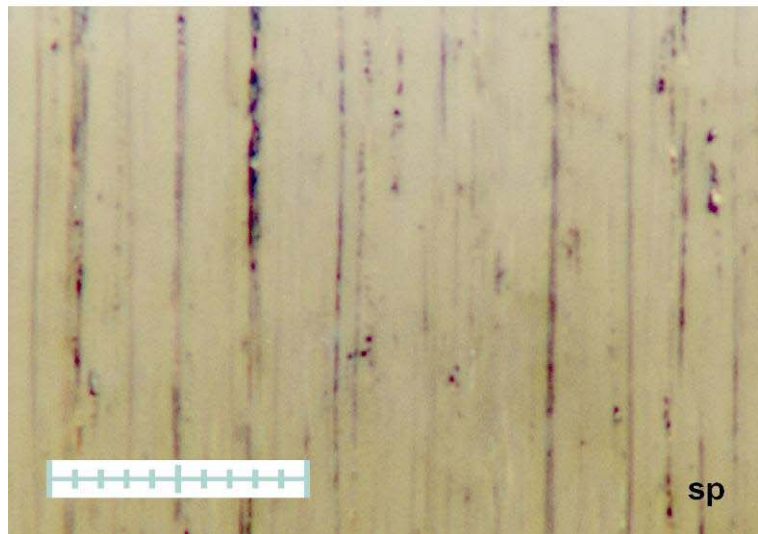
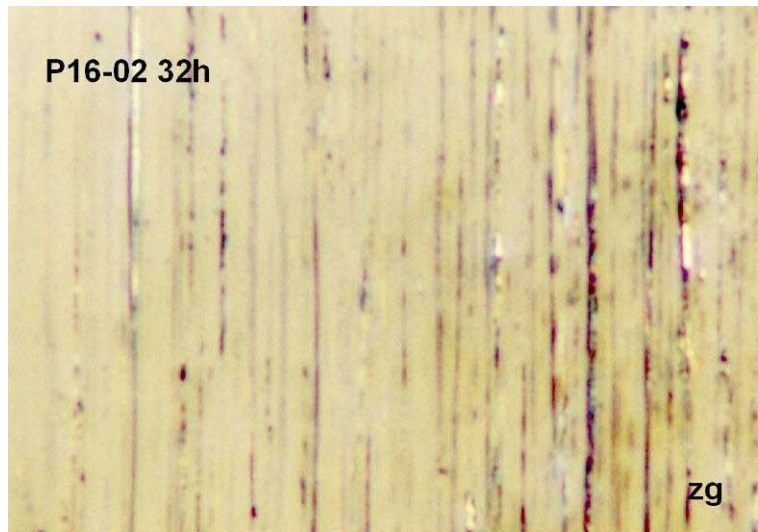
Slike z optičnega mikroskopa (32 h)



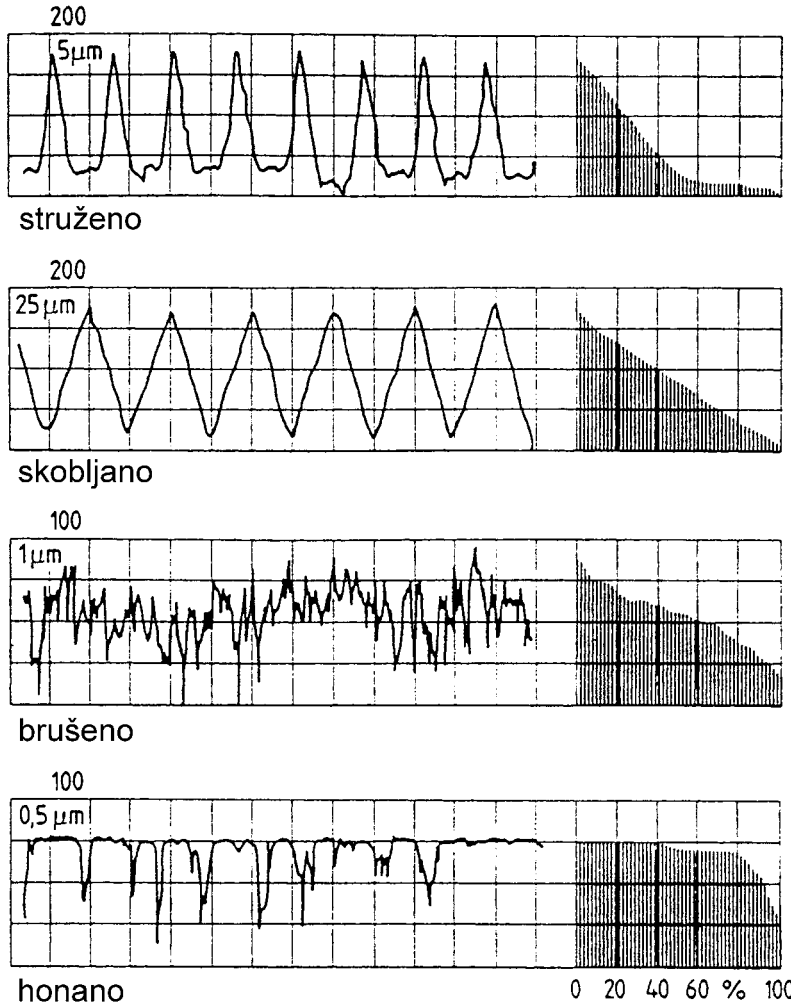
Slike z optičnega mikroskopa (0h)



Slike z optičnega mikroskopa (32 h)

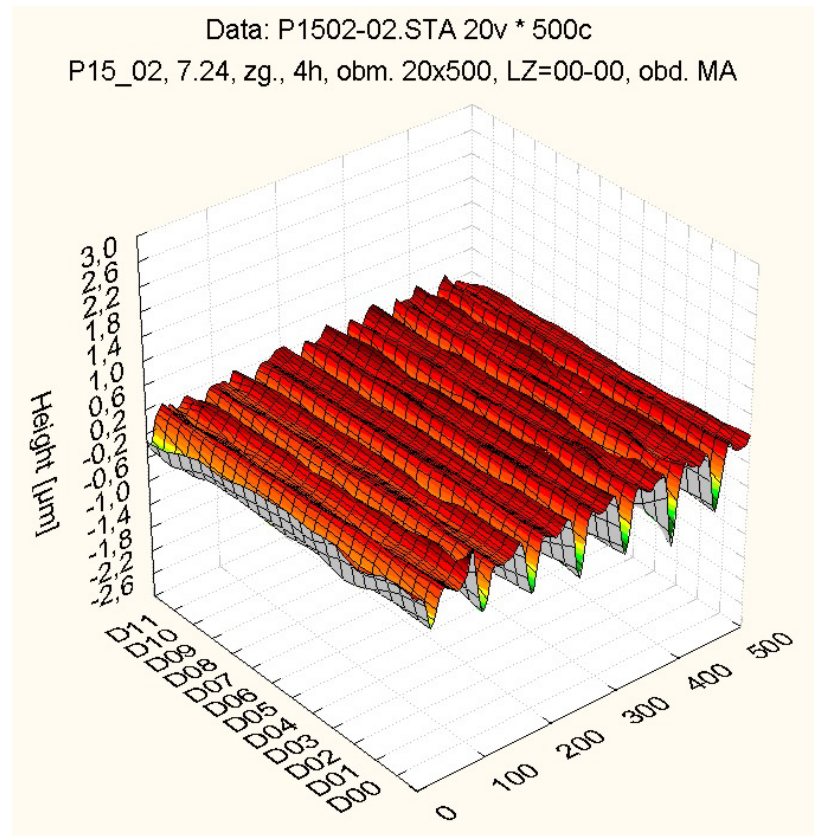
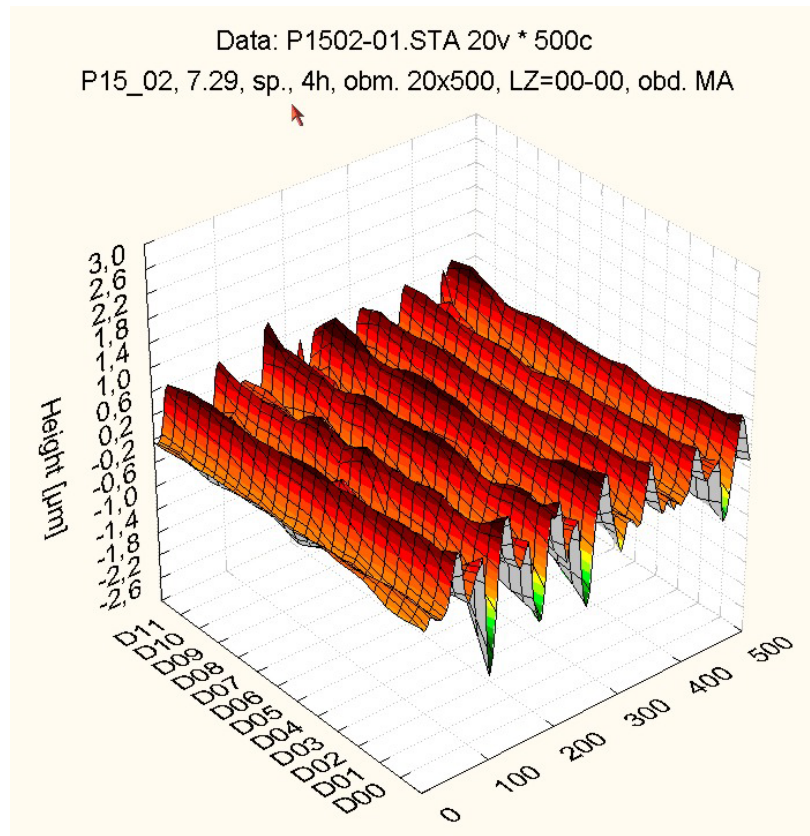


Nekateri statistični parametri in vpliv profila na njihovo obliko

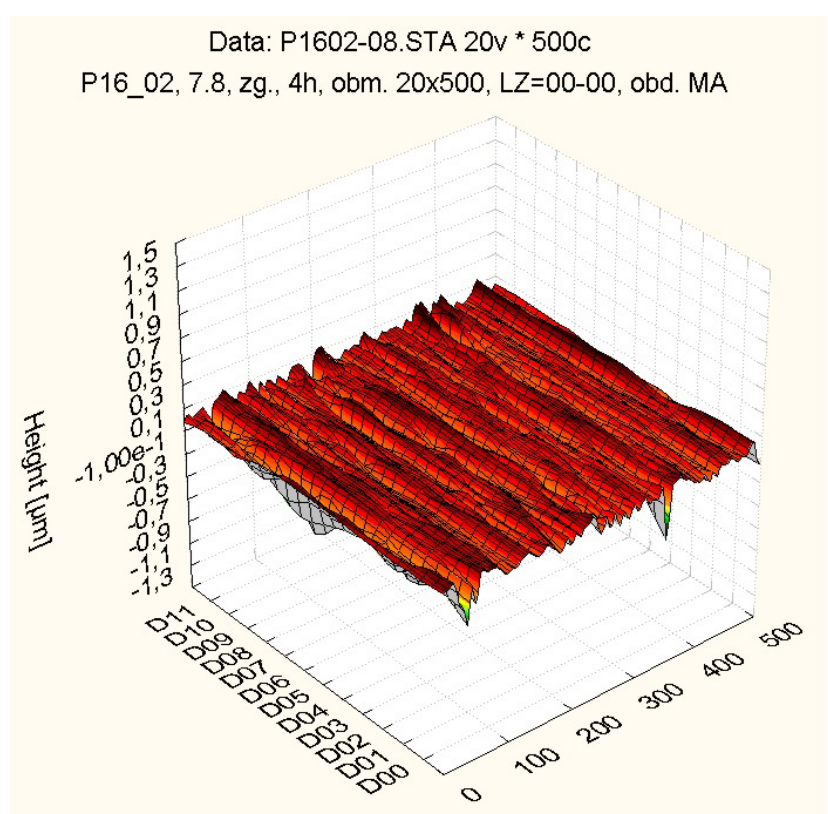
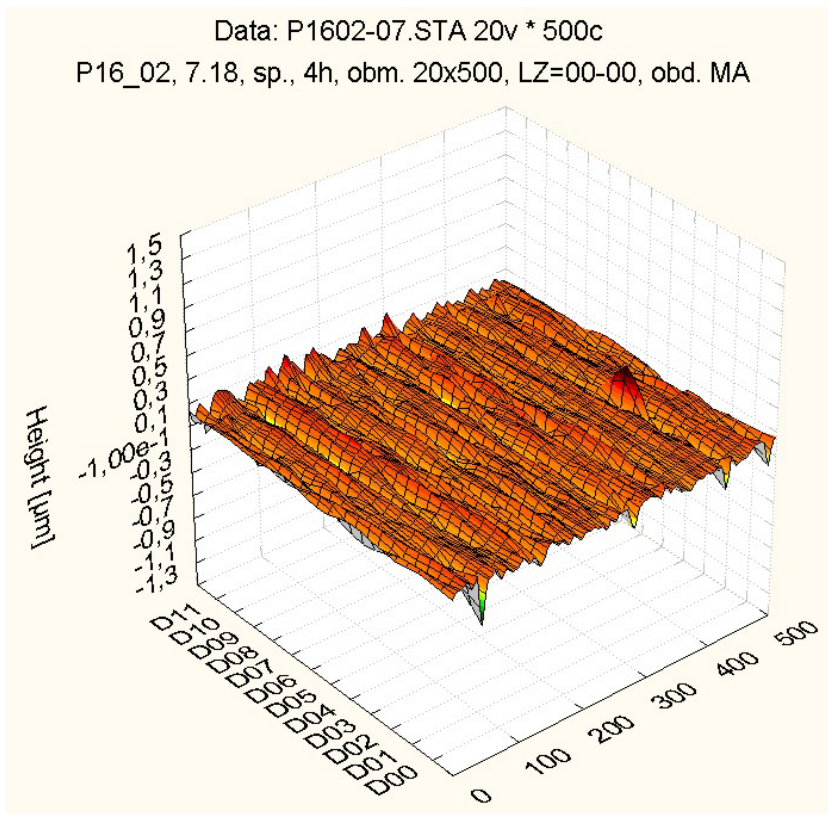


Standardni statistični in skoraj edini parametri, ki se uporabljajo kot kazalec hrapavosti, so R_a , R_z , R_t . V tej raziskavi uporabljamo za ugotavljanje stanja površin tako amplitudne parametre (različne centralne momente), intervalne parametre, nagibe profilov, Abbot-firestonovo funkcijo, avtokorelacijske funkcije in frekvenčne spektre.

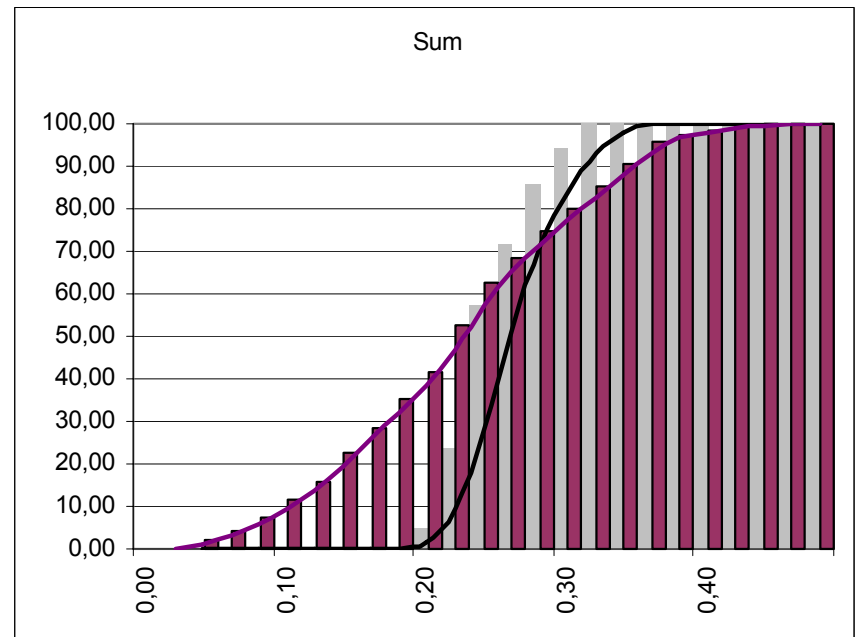
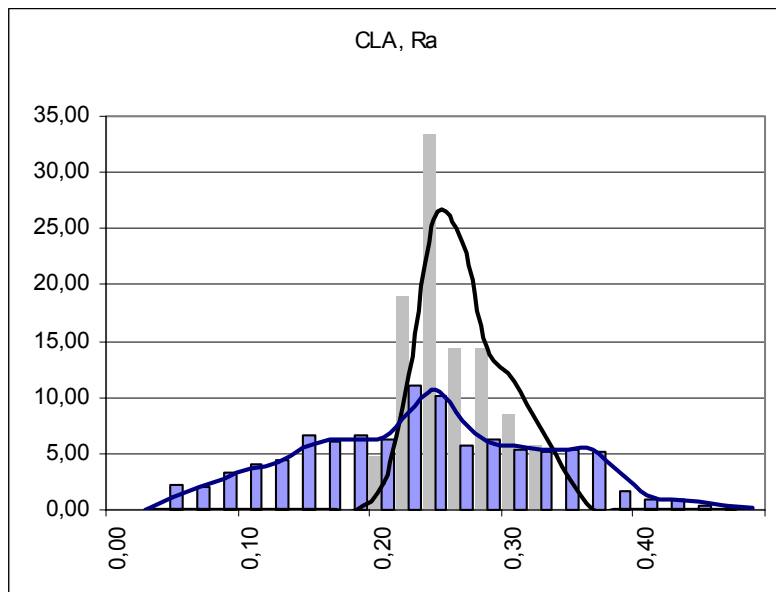
3D grafi površin stružene površine



3D grafi površin brušene površine

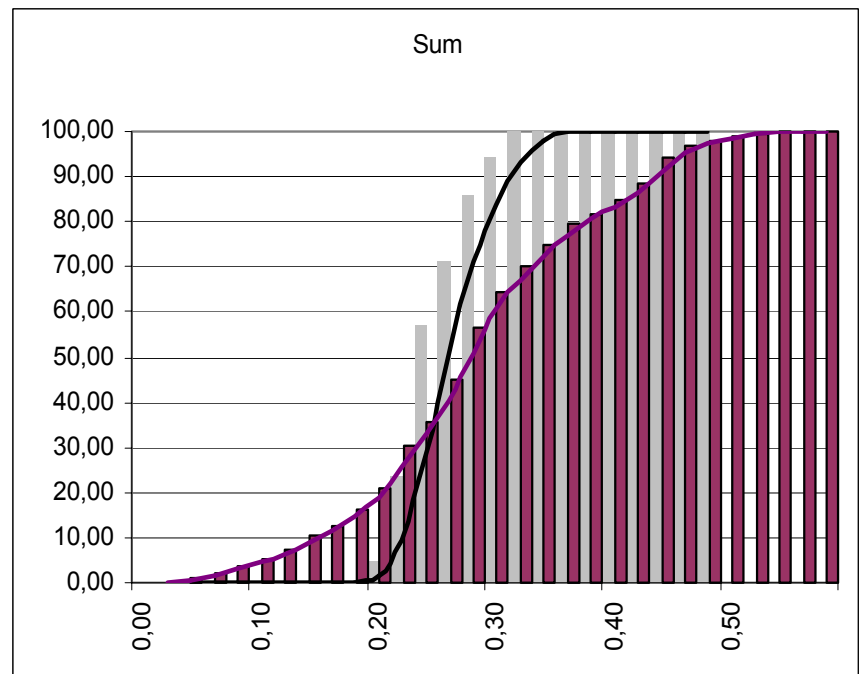
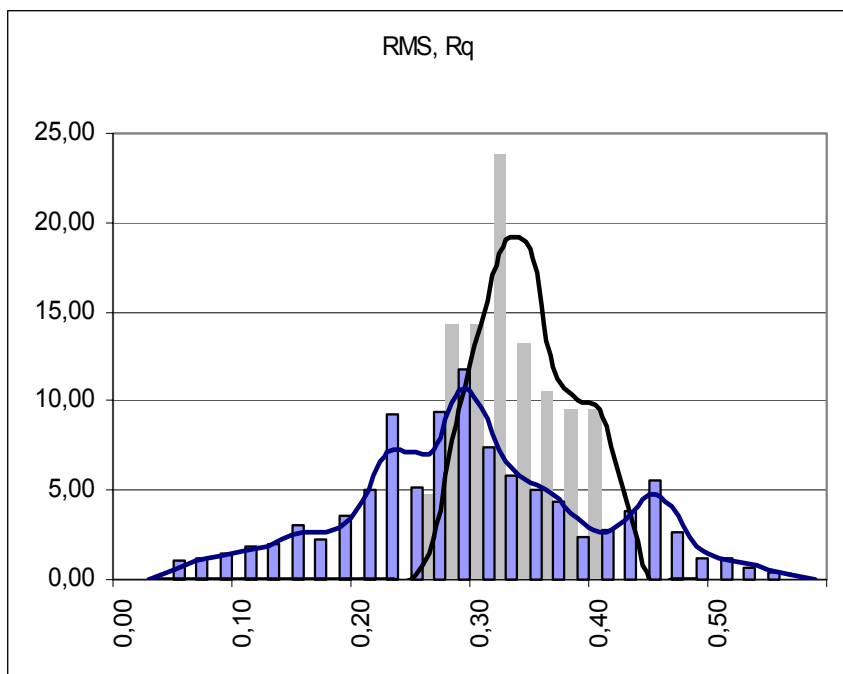


Statistični parametri 3D profilov površin



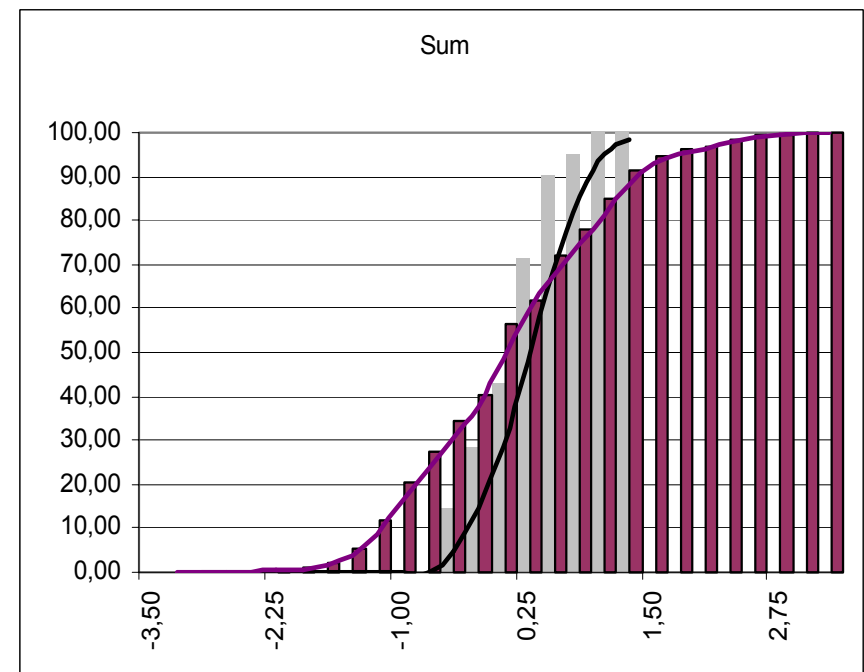
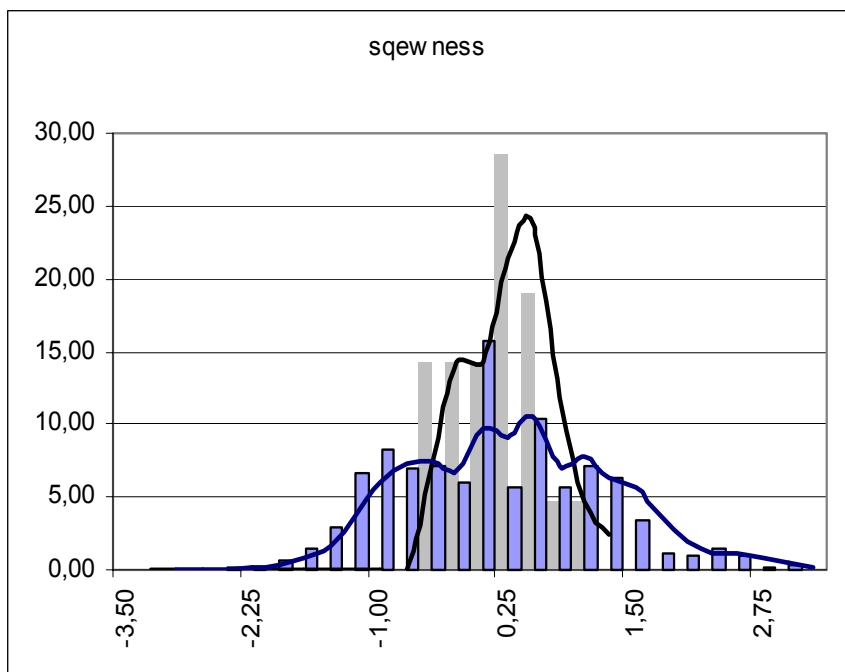
Porazdelitvena funkcija srednje hrapavosti profila v longitudinalni
in v transverzalni smeri

Statistični parametri 3D profilov površin



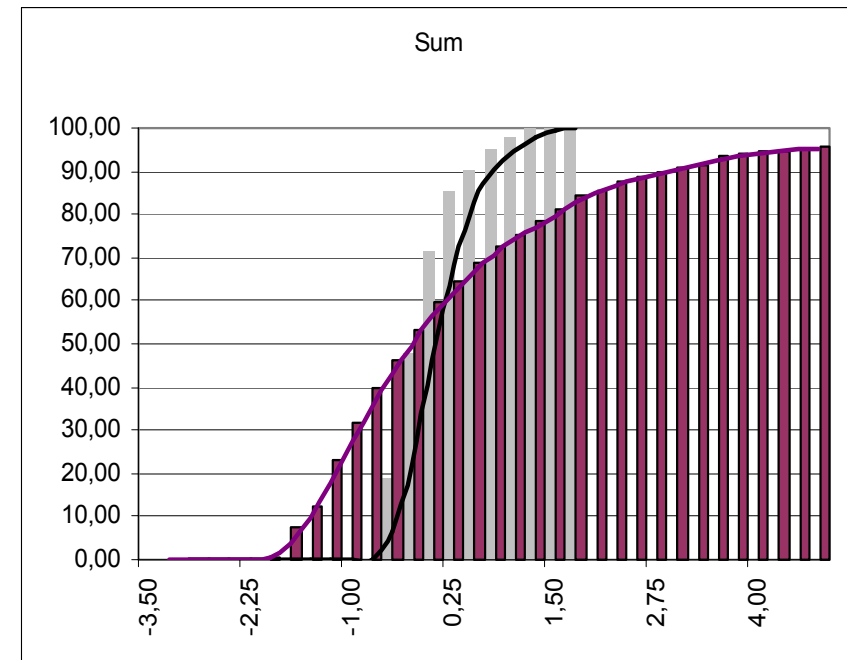
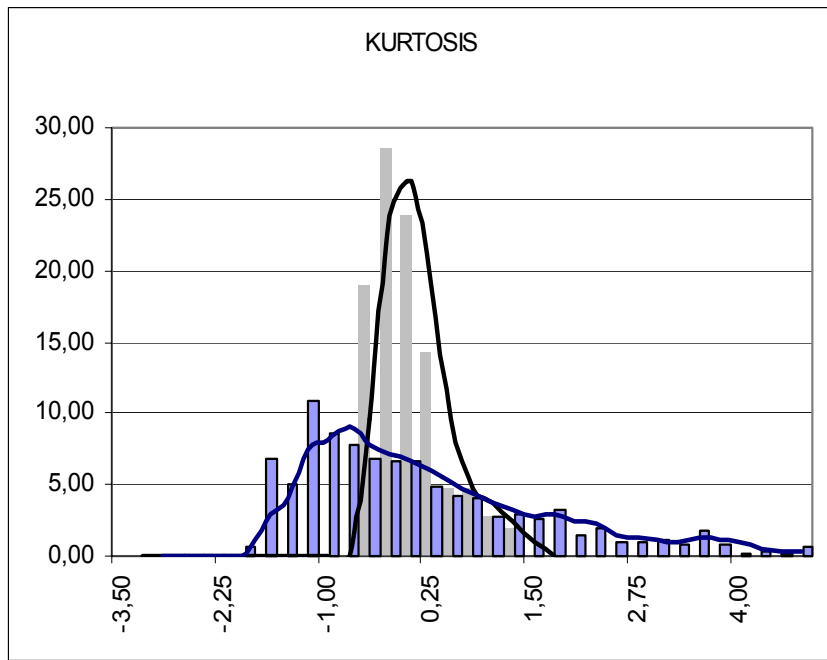
Porazdelitvena funkcija srednjega kvadratnega odstopka profila v longitudinalni in v transverzalni smeri

Statistični parametri 3D profilov površin



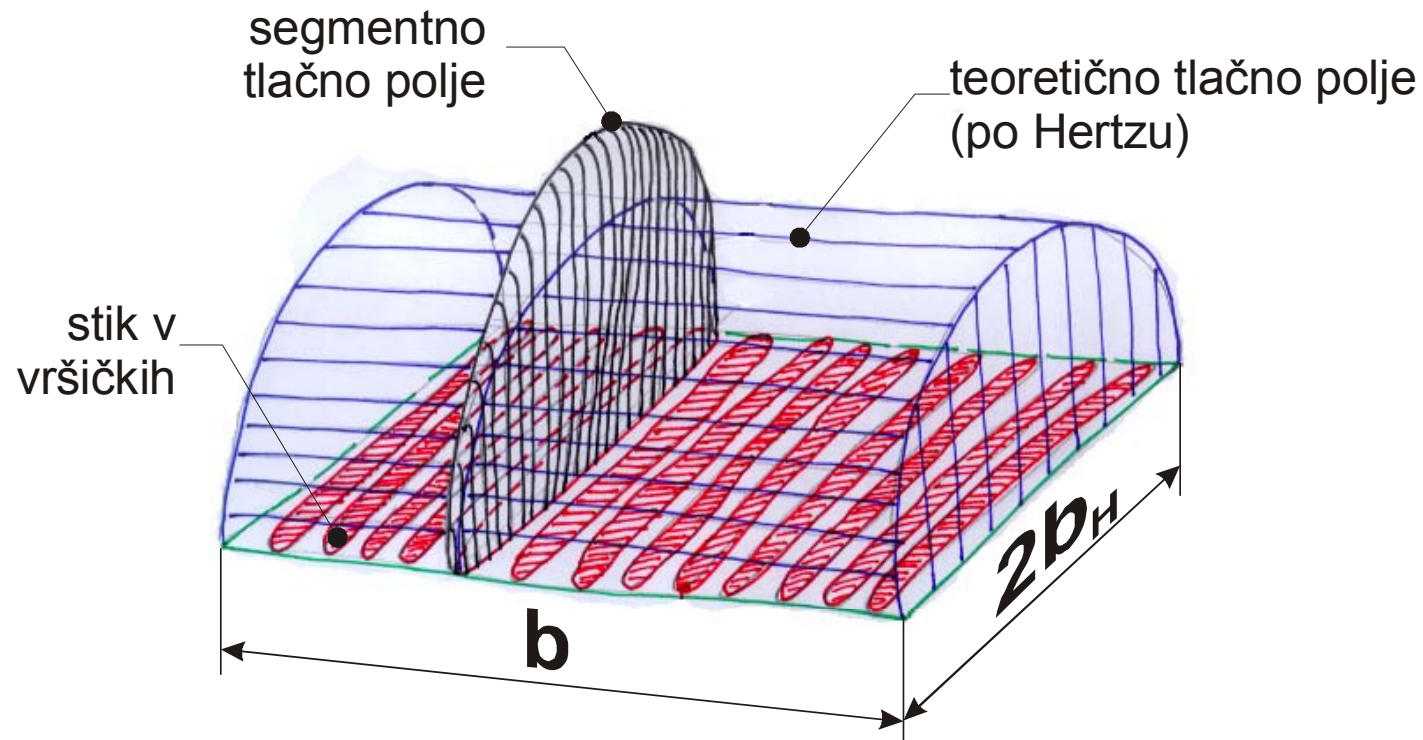
Porazdelitvena funkcija asimetrije profila v longitudinalni in v transverzalni smeri

Statistični parametri 3D profilov površin



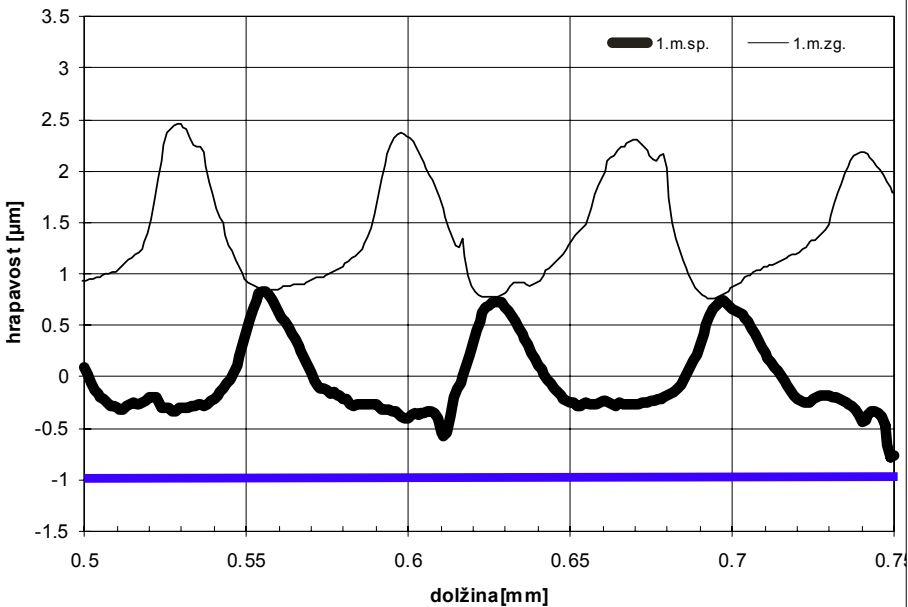
Porazdelitvena funkcija asimetrije profila v longitudinalni in v transverzalni smeri

Potek obremenitvenega polja

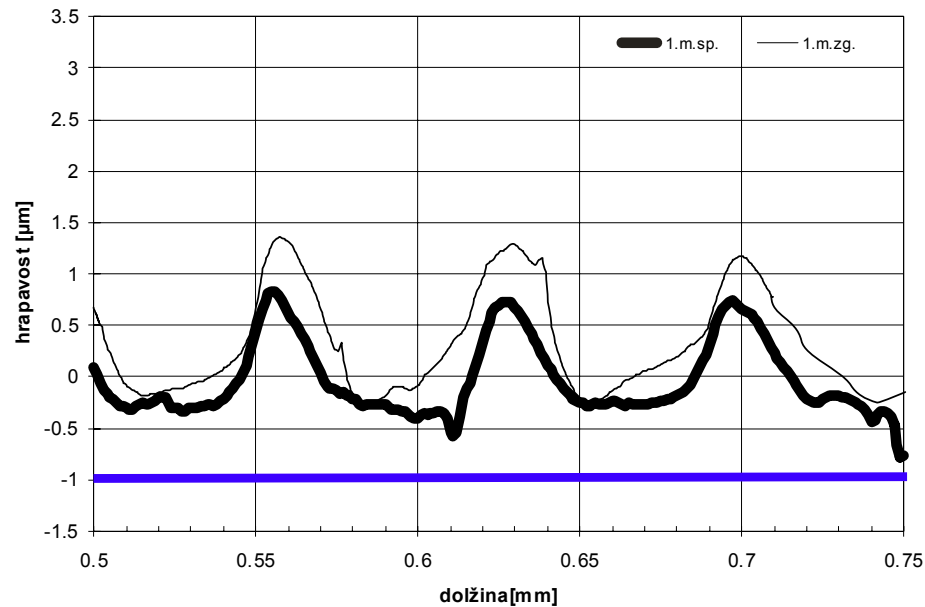


Debelina mazalnega sloja

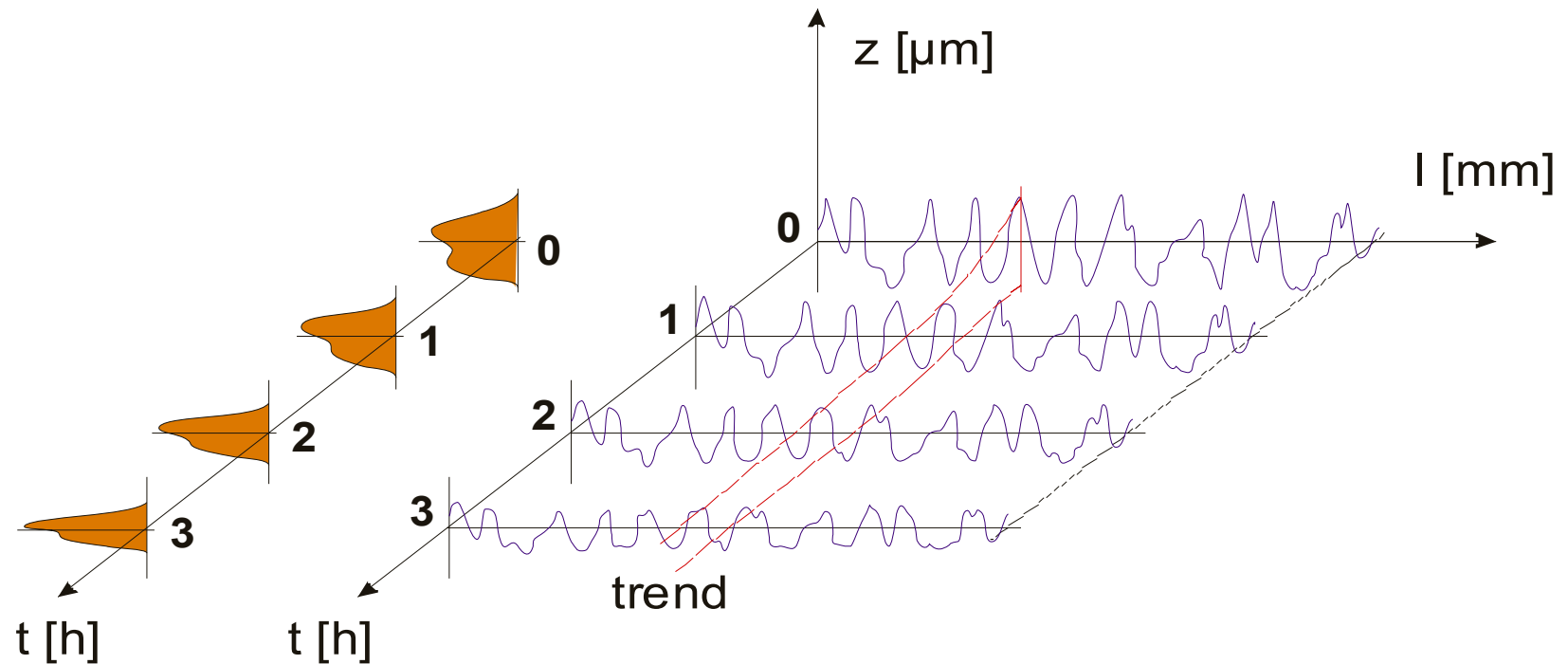
P15-02, $t = 3$ h, kontakt na vršičkih



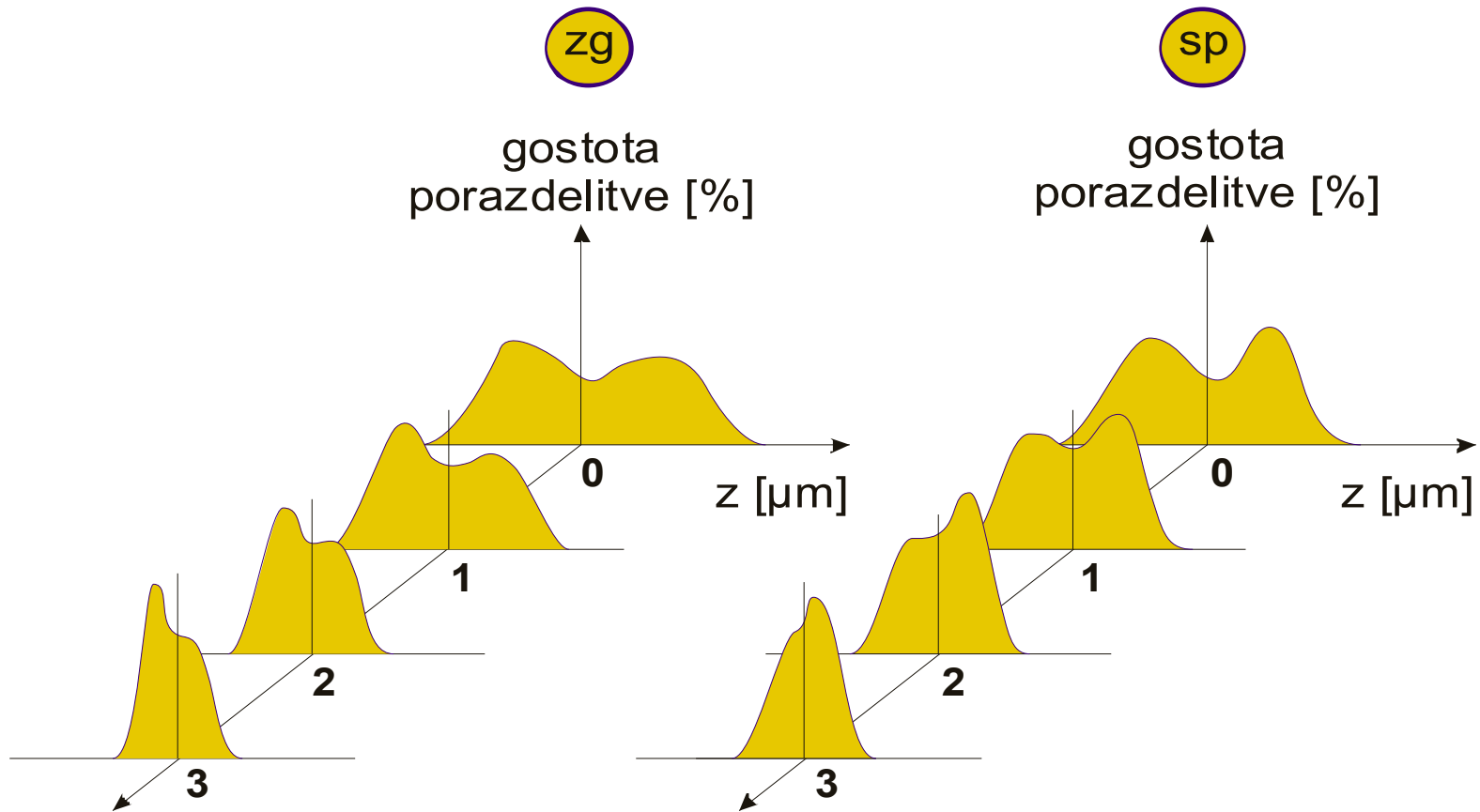
P15-02, $t = 3$ h, kontakt v dolinah



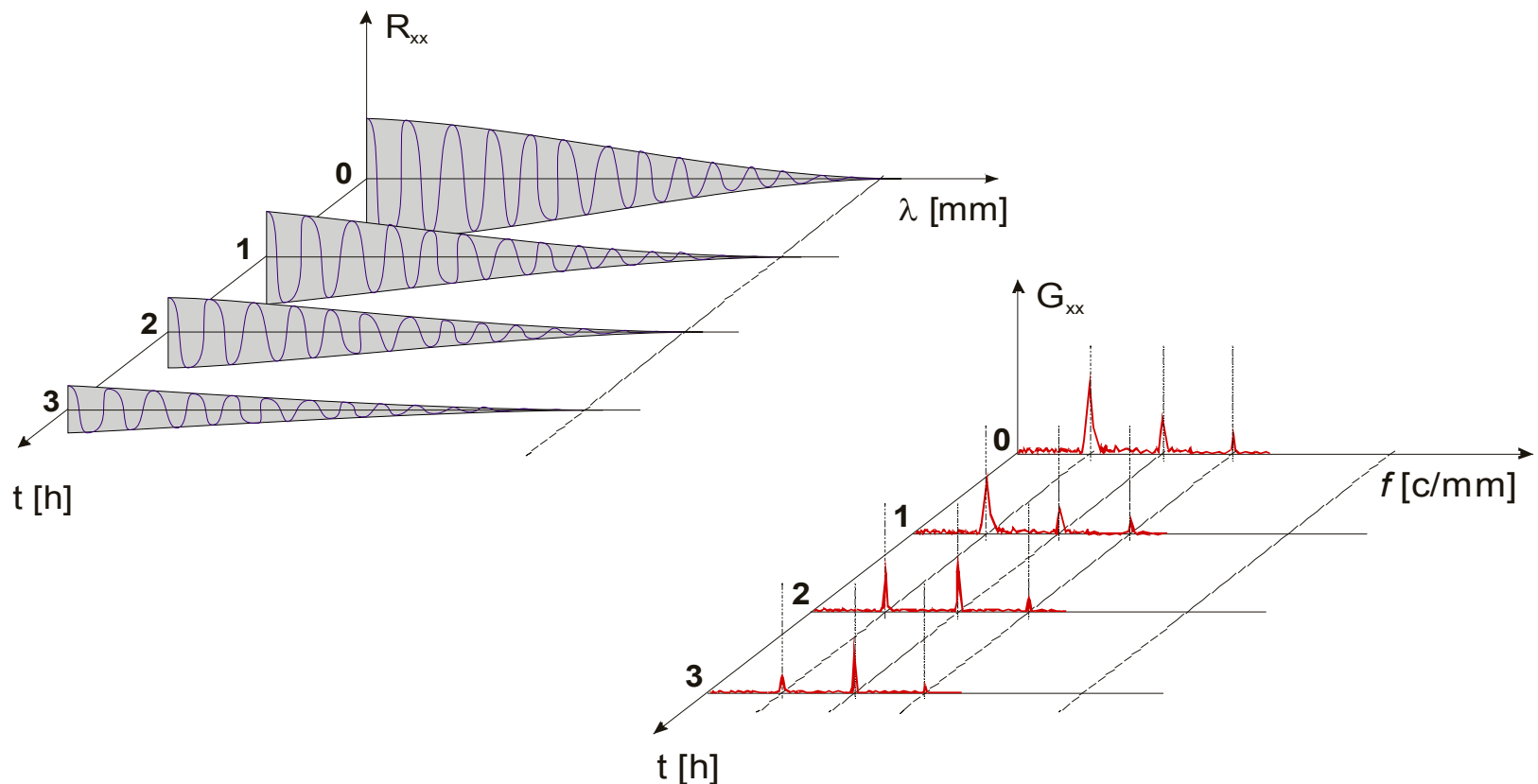
Razvoj profilov



Razvoj gostot porazdelitve višin profilov



Razvoj ACF in GSM



Diskriminacija med determinističnim in stohastičnim signalom

